



Τμήμα Δασολογίας & Διαχείρισης Περιβάλλοντος & Φυσικών Πόρων  
Εργαστήριο Διευθέτησης Ορεινών Υδάτων και Διαχείρισης Κινδύνου  
Προπτυχιακό Πρόγραμμα Σπουδών



# ΔΙΕΥΘΕΤΗΣΗ ΟΡΕΙΝΩΝ ΥΔΑΤΩΝ Ι

## Κεφάλαιο 7<sup>ο</sup>







μ μ ,  
μ μ . μ μ ,  
μ μ μ , μ μ ,  
μ . μ μ μ .  
μ μ μ μ μ .  
μ μ μ (μ ) μ ,  
μ μ μ μ μ . μ μ  
.

---

$\mu$  ( $\mu$ ),  $\mu$   $\mu$ ,  $\mu$   $\mu$ ,  
 $\mu$  ( $\mu$ ,  $\mu$ ),  $\mu$   $\mu$ ,  
, ).

$\mu$   $\mu$   $\mu$   $\mu$   $\mu$   $\mu$   $\mu$   $\mu$   
,  $\mu$   $\mu$   $\mu$   $\mu$   $\mu$   $\mu$   $\mu$   $\mu$   
,  $\mu$   $\mu$   $\mu$   $\mu$   $\mu$   $\mu$   $\mu$   $\mu$   
 $\mu$   $\mu$   $\mu$   $\mu$   $\mu$   $\mu$   $\mu$   $\mu$

μ

μ

μ μ ,

μ ,

μ .

μ μ μ

μ .

μ μ ,

μ

μ

.

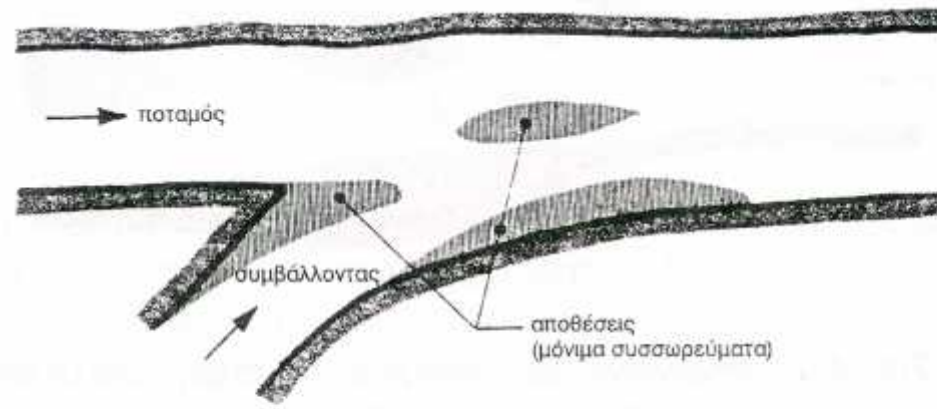
μ μ

μ μ

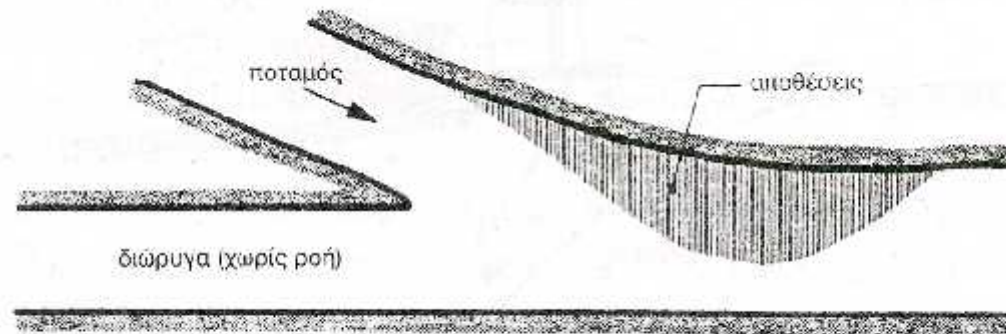
μ

μ

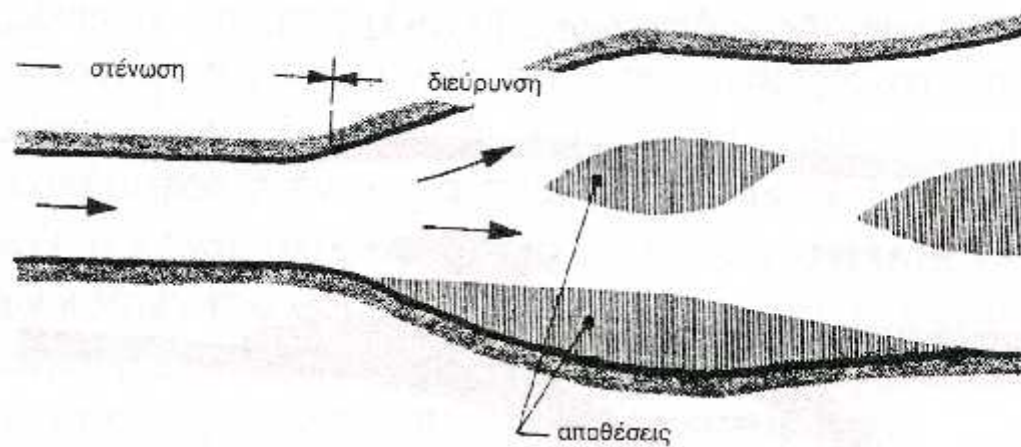
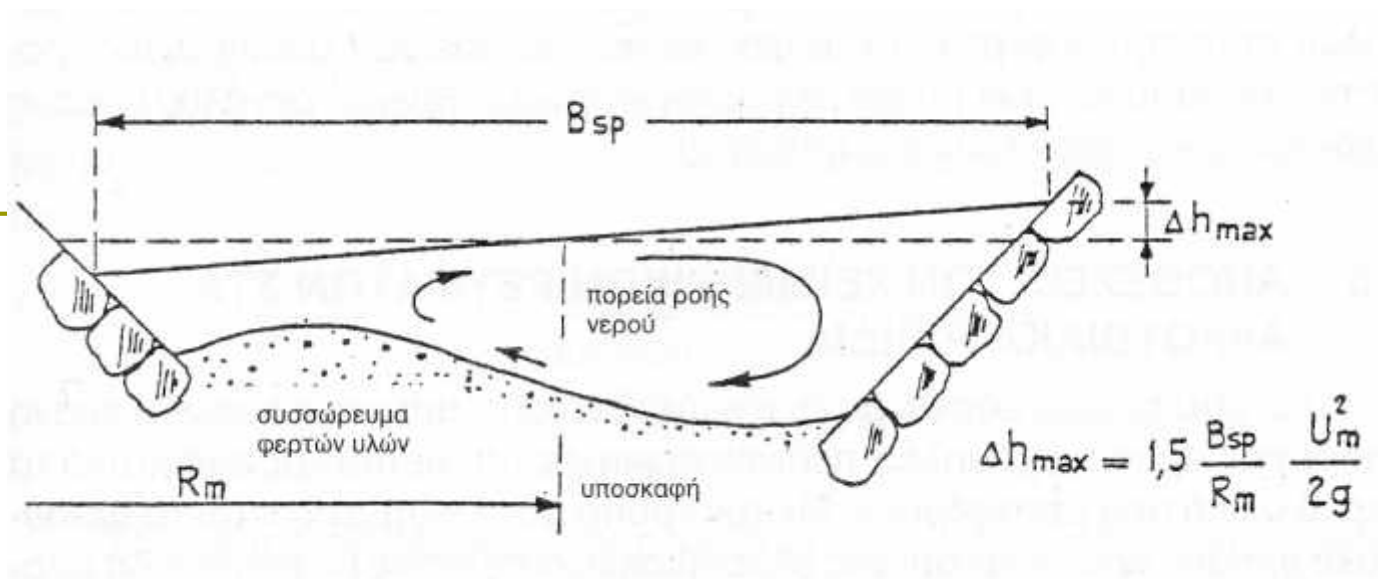
μ .



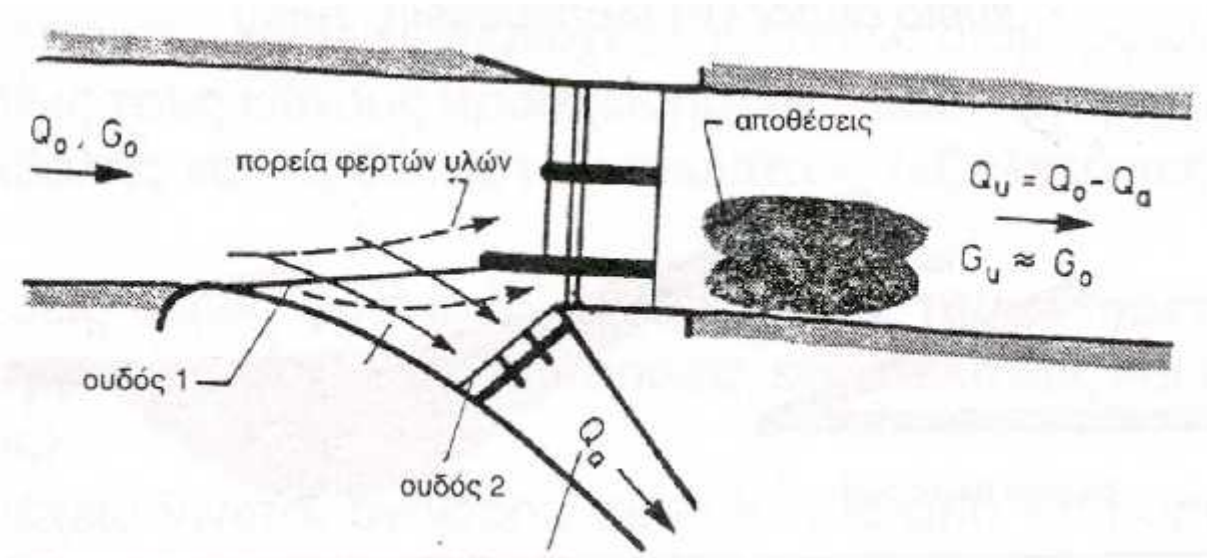
*Μόνιμο συσώρευμα στη θέση εισόδου δευτερεύοντα κλάδου στον κύριο αποδέκτη (Scheuerlein, 1983)*



*Μόνιμο συσώρευμα κατά την εισροή ποταμού σε διώρυγα (Scheuerlein, 1983)*



Αποθέσεις λόγω διεύρυνσης της διατομής του ρεύματος  
 (Scheuerlein, 1983)



μ

(Scheuerlein, 1983)

μ

μ μ

μ

μ μ

.



μ

μ

μ

μ

,

μ

.

μ

,

μ

μ

μ

.

,

μ

μ

,

,

,

( μμ

,

1996).

μ

μ

μ

*μ*

,

*μ*

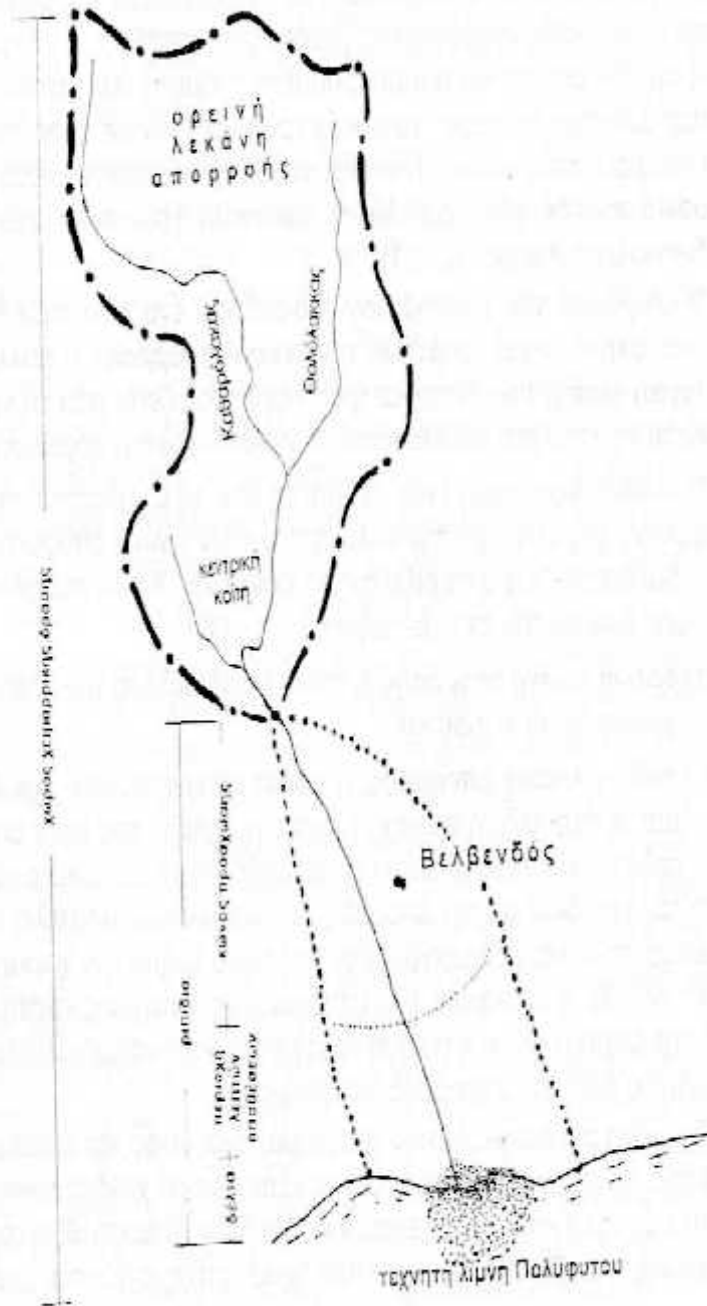
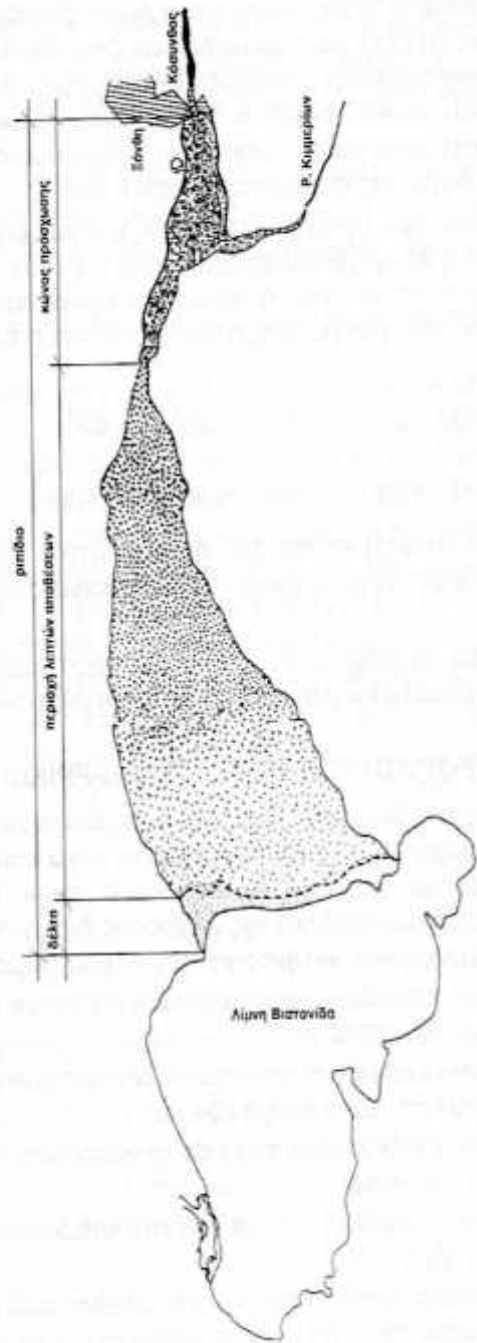
.

μ

μ

μ

**8%**



# $J_R$

$J_R$   $\mu$  :

□  $J_R$  4%,  $\mu$

$$\mu = \left( J_{m,k} \cdot J_{m,\mu} \right)^{0,5}$$

(%)	$\mu$
< 15	$\mu$
15 ~ 25	
23 ~ 45	

$J_R < 4\%$ ,  $\mu$

μ

μ

μ

μ

μ

μ

μ

.

μ

μ

(

)

:

1.

μ

μ

μ

,

2.

μ

μ

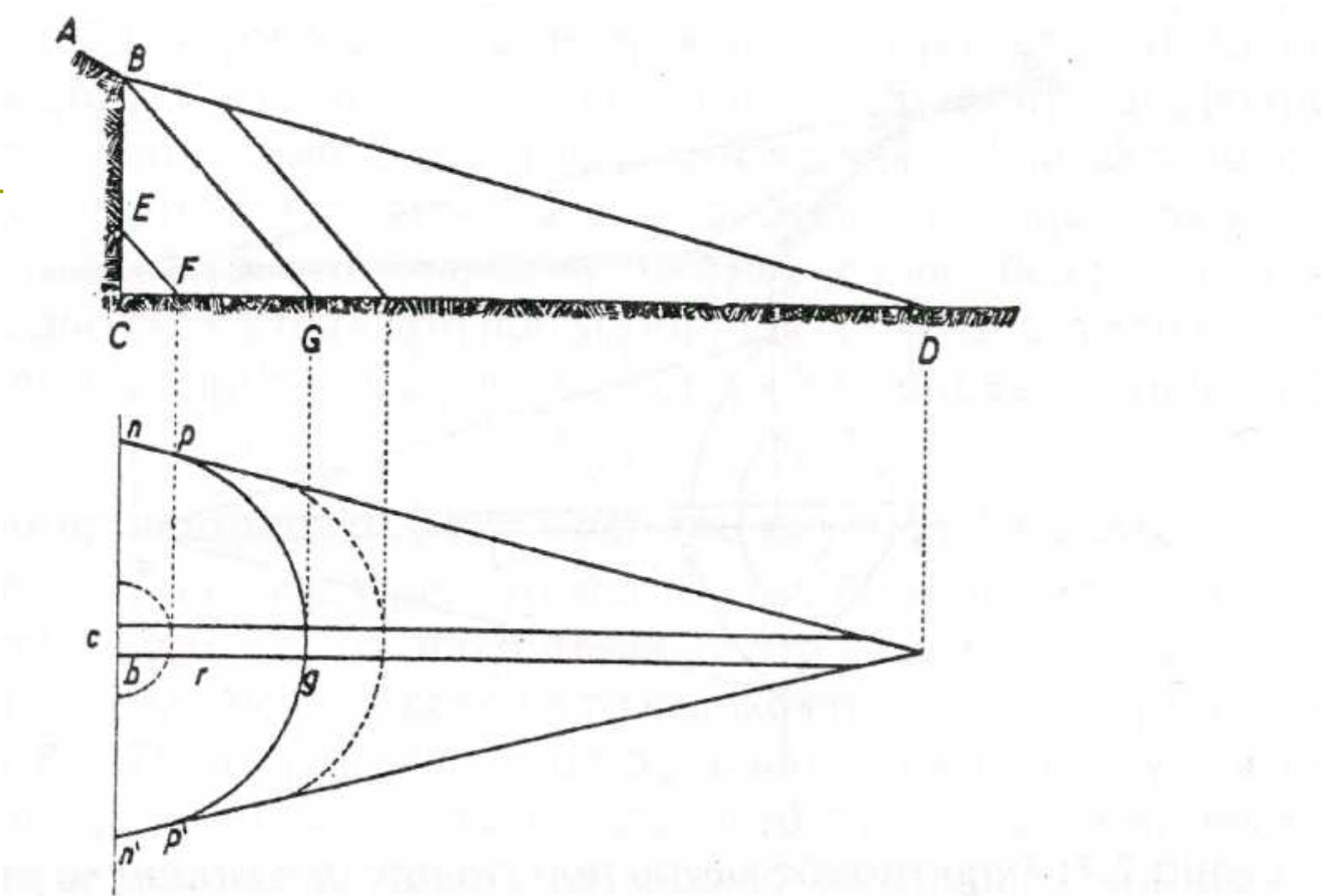
μ

,

3.

4.

.



Σχηματισμός κώνου πρόσχωσης σε χειμαρρικό ρεύμα που εκβάλλει σε πεδιάδα με κατακόρυφη πτώση (Härtel, Winter, 1934)

μ

( μ )

μ μ μ

μ

μ

( μ )

)

:

1.

μ

μ

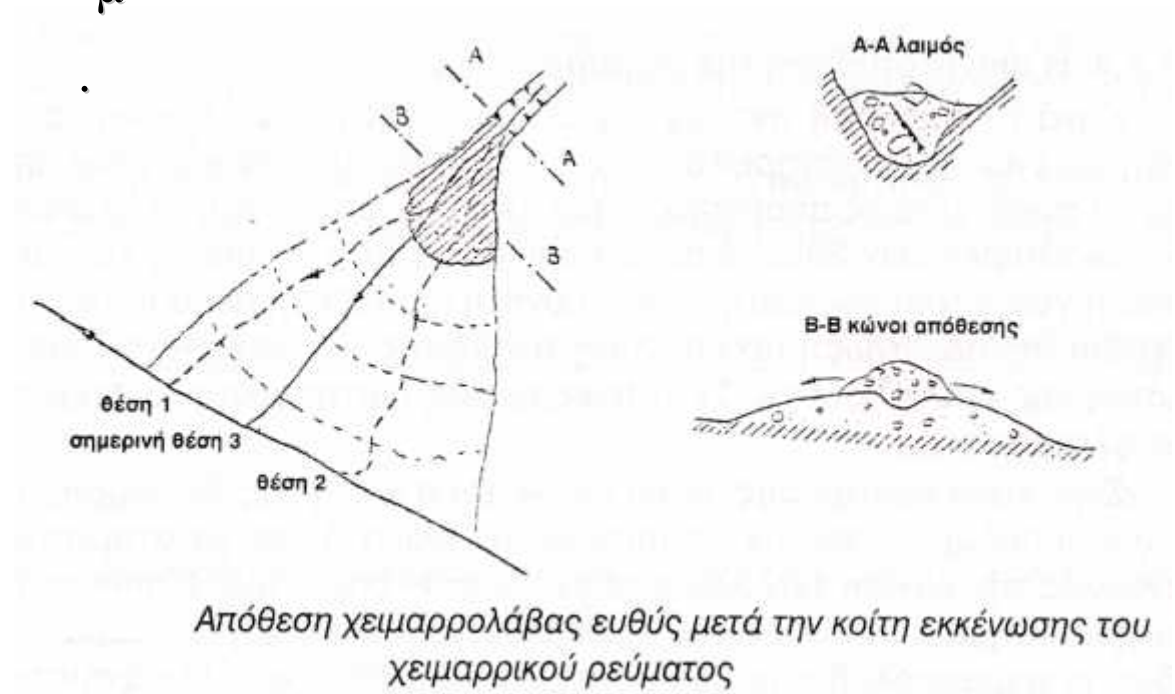
μ

,

2.

μ

3.





μ

μ μ μ .

(Wilchelmy, 1972):

■ μ μ μ μ

■ ( μ ) μ μ μ μ μ μ

■ μ μ μ μ ,

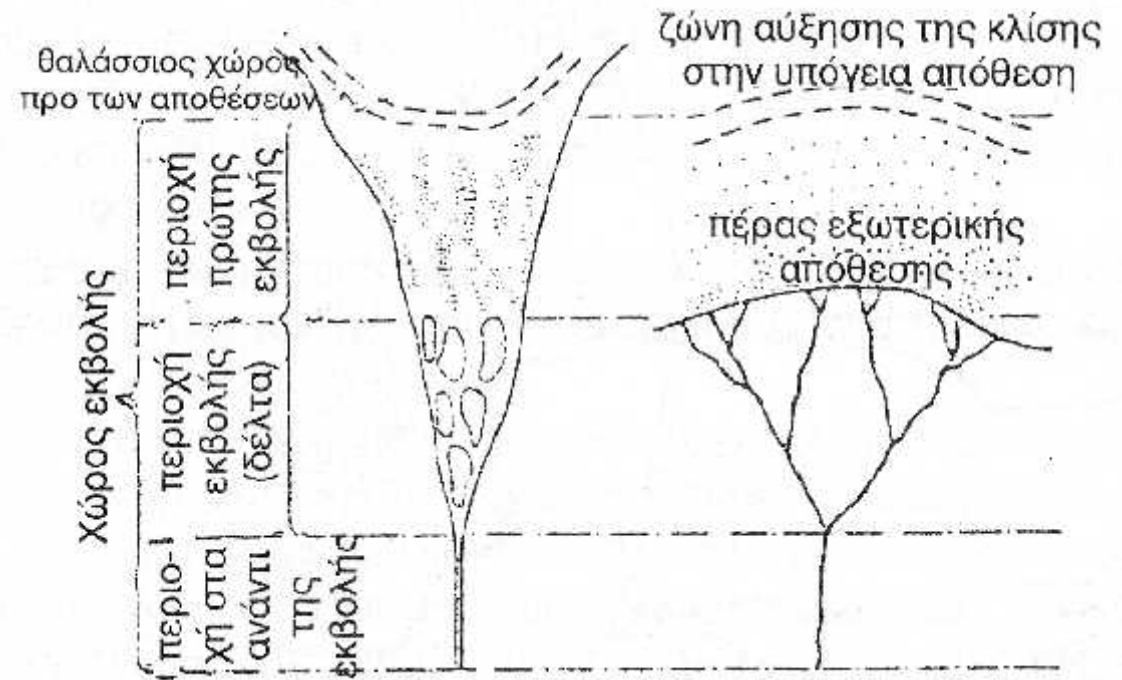
μ ,

■ μ μ μ μ μ .



$\mu$  . Samojlov (1956)  
 $(\mu)$   $\mu$   $\mu$  .

1.  $\mu$  ,  $\mu$   
 2.  
 3.  $(\mu)$   $\mu$  .





*μ* *μ*  
μ μ  
μ ,  
μ μ μ μ μ  
· μ μ μ μ  
μ ,  
μ μ .



$\mu$	$\mu$	(km <sup>2</sup> )	(m/ )
	( )	242,00	61,0
	( )	552,50	62,0
	( )	18,45	8,7
		5550,00	80,0
		23747,00	182,0
$\mu$		7312,00	150,0
		1227,60	51,0
$\mu$	( )	104,12	16,70

μ

μ

μ

μ

.

μ

,

μ

μ

μ

μ

μ

.

,

μ

μ

.

μ

μ

μ

,

μ

,

μ

μ

μ

μ

.

1.

μ μ

μ μ

μ

,

μ

.

μ

,

μ

μ

.

μ

μ

μ

.

2.

μ

μ

μ

,

μ

μ

μ

μ

.

μ

μ

,

,

μ

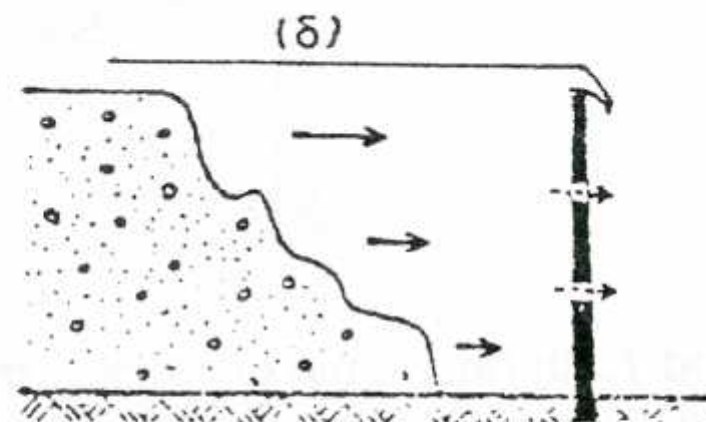
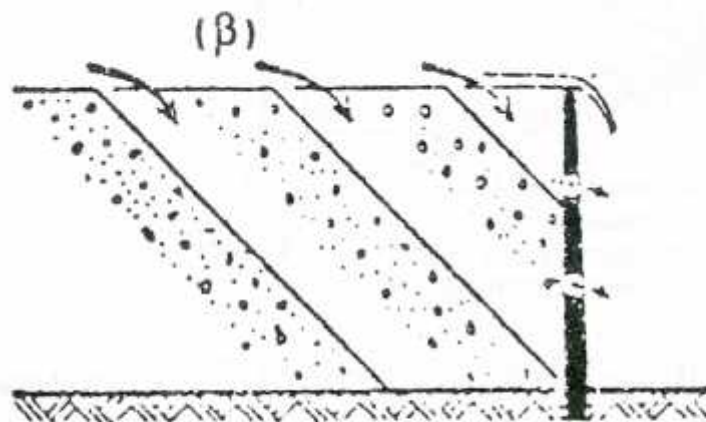
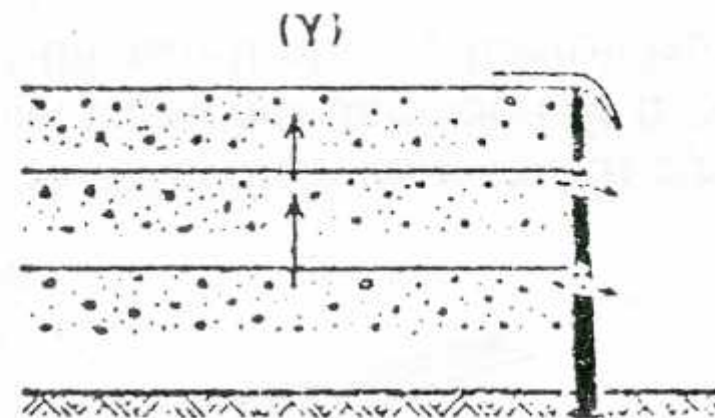
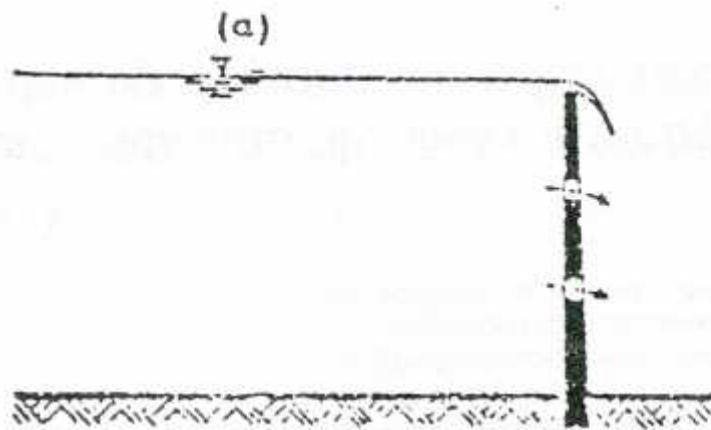
,

μ

,

μ

.



Εξέλιξη της πρόσχωσης στα ανάντη χειμαρρικού φράγματος:  
 α. φράγμα πλήρες νερού, β. πρόσχωση λόγω στερεομεταφοράς, γ. και δ.  
 πρόσχωση λόγω μαζικής μεταφοράς με βραδεία και με ταχεία κίνηση  
 χειμαρρολάβας αντίστοιχα (Zeller, 1965)

$\mu$  (  $\mu$  )

---

$\mu$   $\mu$   $\mu$   $\mu$   $\mu$  ,  $\mu$   $\mu$   
 $\mu$   $\mu$   $\mu$   $\mu$  ,  $\mu$   $\mu$   $\mu$   $\mu$   
 ,  $\mu$   $\mu$   $\mu$   $\mu$   $\mu$   $\mu$   
 .  
 $\mu$   $\mu$  ,  $\mu$  ,  
  $\mu$  .  
 $\mu$   $\mu$   $\mu$   $\mu$   $\mu$  ,  
  $\mu$   $\mu$  ,  
 .





*Πορεία των αποθέσεων τεχνητής δεξαμενής (τομή). Τα συρόμενα υλικά και τα χονδρά αιωρήματα σχηματίζουν τις δελταϊκές αποθέσεις, ενώ τα λεπτά αιωρήματα αποθέτονται σ' όλο το μήκος του πυθμένα ή γεμίζουν ως πυκνότευστο ρεύμα κατά την πορεία του νερού ακόμη και τα βαθύτερα σημεία προ του φράγματος (Vischer, 1981)*